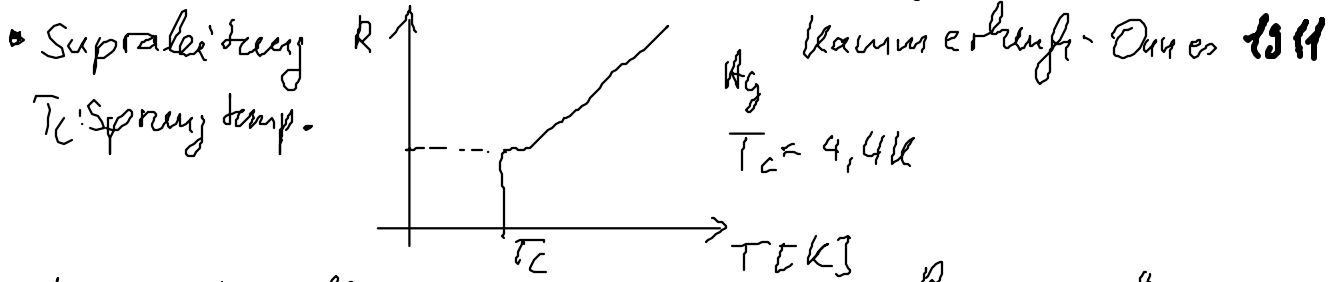


# 12. Grundlegende der Supraleitung

## 12.1 Idealer Leiter und idealer Diamagnet



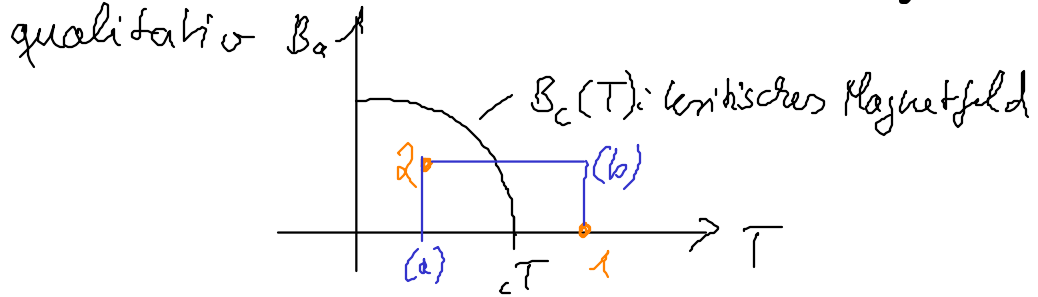
- konventionelle Widerstandsmessung:  $\frac{R_S}{R_N} < 10^{-4}$
- Dauerstromversuch

### Vorkommen

- die meisten elementaren Metalle
- viele 1000 Legierungen

1986	$CuO_2$ -Supraleiter	Bednorz, Müller	$T_{cmax} \approx 130 K$
2001	$MgB_2$	Aleknitsa	$T_c \approx 38 K$
2008	FeAs-Ebenen	Kamihara	$T_c \approx 55 K$

### äußeres Magnetfeld unterdrückt Supraleitung



### idealer Leiter 2 Wege von 1 $\rightarrow$ 2

- Wärmen in  $B_a = 0$ , dann Feld ein: im Inneren  $B = 0$ , da Dauerstrom Felderänderung verhindert
  - Feld ein, dann Ableiten: im Inneren  $B = B_a$
- Zustand eines idealen Leiters im Magnetfeld ist abhängig von Vorgeschichte

### Meißner-Ochsenfeld (1933)

Im Inneren eines homogenen Supraleiters ist immer  $B = 0$ , unabh. von Vorgeschichte, also  $\chi = -1$ ;  $B = \mu_0(H+M)$ ;  $\chi = \frac{\mu_0 M}{B_a}$ ;  $B_a = \mu_0 H$

### Einschränkungen:

- ① gilt für alle Felder  $B < B_c$  nur für sog. Supraleiter (SL) 1. Art
- ② gilt nur für dünne Oberflächenschicht, in der SL-Dauerstrom fließt
- ③ gilt nur für stabförmige Proben  $\parallel B_a$  (sonst Entmagnetisierungseffekt)

**Fazit:** SL ist Gg-Zustand im Sinne der Thermodynamik



## 1.2 London-Gleichungen

• Beschränken  $R=0$  und  $B=0$

• Bgl für Elektronen im elektr. Feld  $\vec{E}$ :  $m\dot{\vec{v}} + \frac{m}{\tau}\vec{v} = -e\vec{E}$

$\tau$  = mittlere Stoßzeit

• Für supraleitende Elektronen:  $\tau \rightarrow \infty$  da  $\rho=0$

$\Rightarrow m\dot{\vec{v}} = -e\vec{E}$  mit  $\vec{j}_s = -e n_s \vec{v}_s$ ;  $1 = \frac{m_s}{\hbar_s e_s^2}$

$$\frac{\partial (A_{js}^u)}{\partial t} = E$$

### 1. London-Gleichung

• BCS-Theorie: „SL-Elektronen“ Cooper-Paare, Ansdruck für

$\Lambda$  identisch

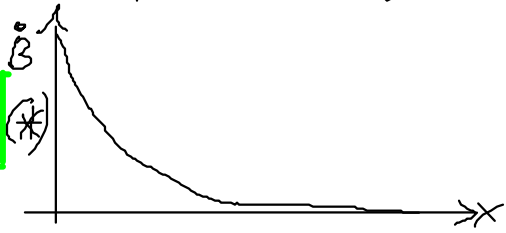
Mit  $\text{rot } \vec{E} = -\dot{\vec{B}}$

$$\frac{\partial (\text{rot}(A_{js}^u) + \vec{B})}{\partial t} = 0 (*)$$

Mit  $\text{rot } \vec{B} = \mu_0 \vec{j}_s + \dot{\vec{D}}$  vernachlässigen

$$\Rightarrow \nabla^2 \vec{B} = -\mu_0 \vec{j}_s$$

$\vec{B}$  nimmt exponentiell ins Innere des Leiters ab



$$\vec{B}(x) = B_a \exp\left[-\frac{x}{\lambda_L}\right]$$

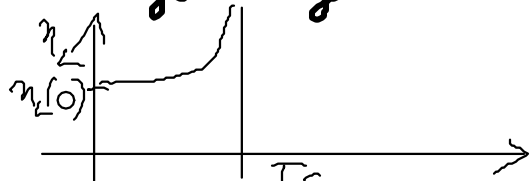
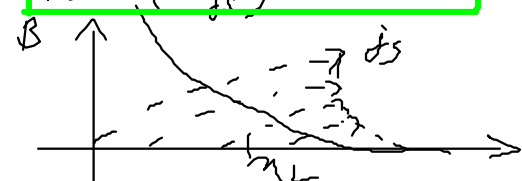
$$\lambda_L = \sqrt{\frac{\Lambda}{\mu_0}} = \frac{1}{e_s} \sqrt{\frac{m_s}{n_s \mu_0}}$$

**M-O-Effekt** beschrieben durch (\*), wenn man Int.

Konstante = 0 setzt:

$$\text{rot}(A_{js}^u) + \vec{B} = 0$$

### 2. London-Gleichung



Bem.  $n_L(T) \sim \frac{1}{T m_s}$  Typisch  $n_L(0) \sim 100 \text{ \AA}$   
 • London-Gleichungen implizieren Existenz eines makroskop. Wellenfkt  $\psi$  mit  $\psi^* \psi = n_s$

• Querschnittsdichte  $\boxed{j_s = -\frac{1}{2} \frac{e s}{m_s} (\psi^* (-i \hbar \nabla + e_s \vec{A}) \psi + \psi (-i \hbar \nabla + e_s \vec{A}) \psi^*)}$

• Falls  $\psi$  reell, konst.:

$j_s = -\frac{e^2}{m_s} \psi^* \psi \vec{A} = -\frac{e_s^2 n_s}{m_s} \vec{A} = -1^{-1} \vec{A}$

mit rot  $\vec{A} = \vec{B}$  folgt 2. Lond.-Glt

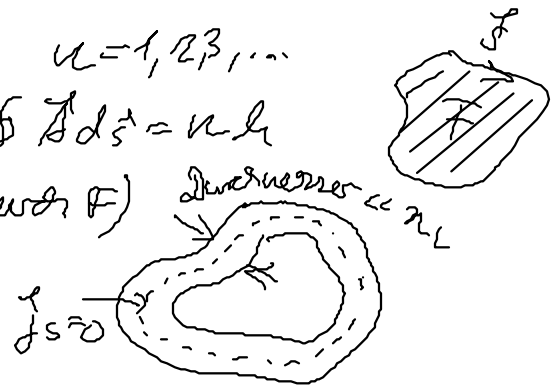
**Konsequenz: Flussquantisierung**

Bohr-Sommerfeld:  $\oint p d\vec{s} = n \hbar \quad n=1, 2, 3, \dots$

im Magnetfeld:  $\oint m_s \vec{v}_s d\vec{s} - e_s \oint \vec{A} d\vec{s} = n \hbar$

$\oint \vec{A} d\vec{s} \dots = \oint B dF = \Phi_F$  (magnet. Fluss durch F)

$\boxed{-\frac{n \hbar}{e_s} = \oint \frac{m_s}{m_s e_s^2} j_s d\vec{s} + \Phi_F}$



Im Innern  $j_s = 0 \Rightarrow$  Flussquantisierung

$\boxed{\Phi_F = n \frac{\hbar}{2e} = n \Phi_0}$  mit  $\Phi_0 = \frac{\hbar}{2e} = 2,07 \cdot 10^{-15} \text{ Vs}$

- a) Elektronenpaare tragen SL
- b) Phasenrelation der Cooper-Paare

**19.3 Cooper-Paare**

Im klassischen SL: attraktive WW zwischen Elekt. vermittelt durch Gitterschwingungen retardiert

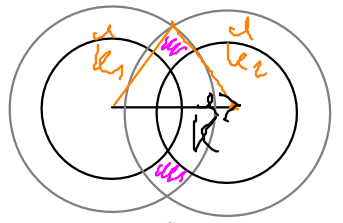
Im unretardierten SL: attraktive WW zw. Elekt. durch (magn. Langw.?)

Modell freier Elektronen,  $T=0 \Rightarrow$  alle Zustände bis  $E_F$  besetzt

• addiere 2 Elekt., die miteinander, aber nicht mit Fermi-See wechselwirken

• Gesamtimpuls  $\boxed{\hbar \vec{k} = \hbar \vec{k}_1 + \hbar \vec{k}_2}$

• max Phasenraumvolumen für attraktive WW, wenn  $\vec{k} = 0 \Rightarrow \vec{k}_1 = -\vec{k}_2 = \vec{k}$



• Wechselwirkung  $V_{\vec{k}_1 \vec{k}_2} = \int V(\vec{r}) \exp[i(\vec{k}_1 - \vec{k}_2) \cdot \vec{r}] d\vec{r}$

Cooper-Annahme:  $V_{\vec{k}_1 \vec{k}_2} = -V_0 = \text{const}$  im Energiebereich bis  $\hbar \omega_D$  um  $E_F$

2 Elekt. Wellenfkt nach Ebenen entwickelt, eingesetzt in Schrödlgl. mit  $V(\vec{r})$

⇒ Konsistenzgl:  $\frac{1}{V_0} = \frac{1}{\Omega} \sum_{\epsilon > \epsilon_F}^{\epsilon} (2\epsilon_F - \epsilon)^{-1}$

• Schwache Kopplung:  $D(E_F) V_0 \ll 1$

• Energie des 2-El.-Zustands:  $E \approx 2E_F - 2\hbar \omega_c \exp\left[-\frac{2}{D(E_F) V_0}\right]$

⇒ Energieabsenkung! Gebundener Zustand „Cooper-Paar“  
 ⇒ Stabilität des Fermi-Sees ⇒ BCS-Wellenfkt.

• „Ausdehnung“ eines Cooper-paars:  $\xi_{Co} = \frac{\hbar v_F}{k T_c}$   $a = 0,18$  (BCS)

**Beispiel** Al  $T_c = 1,2 K$ ,  $\xi_{Co} = 2,3 \mu m$  „BCS-Kohärenzlänge“

• Für einfache  $V_{ij} = -V_0$ :

⇒ Ortsanteil der 2-El.-WW symm: Spinanteil antisym.  $\vec{S} = 0$   $\langle \uparrow \uparrow, \downarrow \downarrow \rangle$

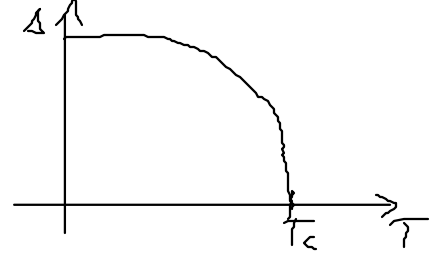
• komplizierte WW:

⇒  $\vec{S} = 1$  prinzipiell möglich (3He: Suprafluid  $\sim 2ml$ )

**Währendliche Konsequenzen aus der BCS-Theorie**

① Energieleiter für Anregungen/Quasiteilchen  
 z.B. aus spez. Wärme

Mikrowellenabsorption bei  $\hbar \omega > 2\Delta$



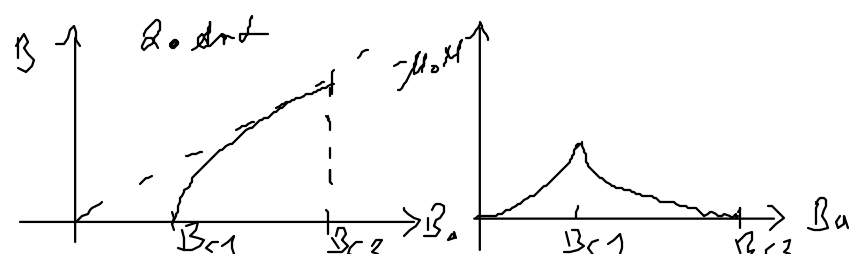
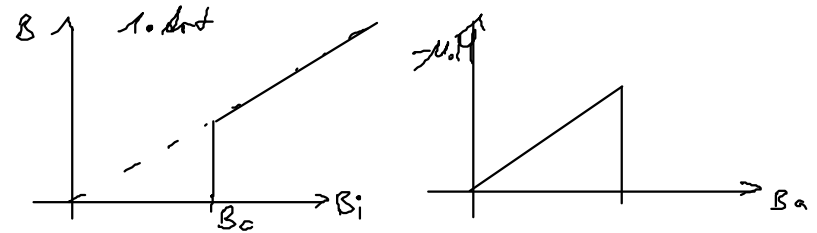
②  $k T_c = 1,13 \hbar \omega_c \exp\left[-\frac{1}{D(E_F) V_0}\right]$

El-Ph-Kopplung:  $\hbar \omega_c \approx \hbar \omega_D$  (Dobye)

③ London-Gl aus BCS-Theorie herleitbar

④ Josephson-Effekt: Kopplung zw. zwei SL: Austausch von Cooper-Paare: Phase wichtig.

**11.9 Supraleiter 1. und 2. Art**



$B_{c1}$ : unteres krit. Feld  
 $B_{c2}$ : oberes krit. Feld

Flusslinien mit  $\mu_0 H_c$  wichtig:  $\frac{m c}{\hbar}$

